



## Master Mécanique-Matériaux-Structures-Procédés

# Concepts fondamentaux de la mécanique de la rupture

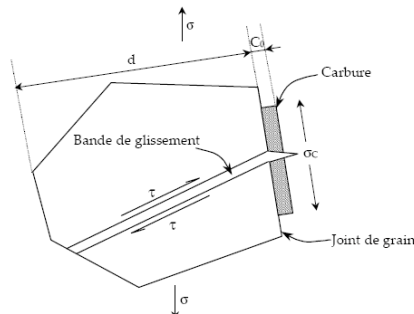
## Chapitre 3 – Concentration des contraintes près des entailles

*Prof. Abderrahim Zegloul  
Université de Lorraine*

1

### Rupture par clivage

La rupture par clivage est une rupture fragile qui s'accompagne de très peu de déformation plastique. Dans les matériaux métalliques, le clivage opère par rupture des liaisons interatomiques dans une direction perpendiculaire au plan de rupture. La figure ci-dessous montre l'amorçage d'une microfissure associée à la rupture par clivage d'un carbure (particule fragile) selon le modèle de Smith<sup>9</sup>.



<sup>9</sup>Smith E, The nucleation and growth of microcracks in mild steel, Physical basis of yield and fracture, pp. 36-46, 1966.

### Exemples de rupture par clivage

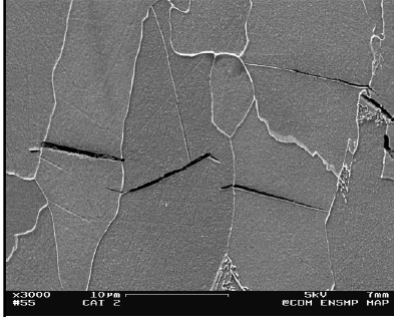


figure V.4 : Coupe longitudinale<sup>2</sup> d'une éprouvette AE4-50 de métal de base rompue à -196°C ( $\epsilon=13\%$ ). Fissures secondaires de clivage déviées ou arrêtées aux joints de grains ferritiques (Attaque Nital 4%).

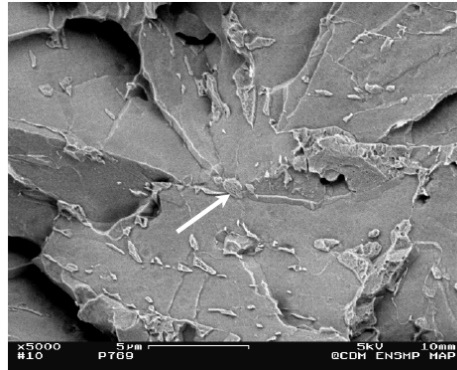
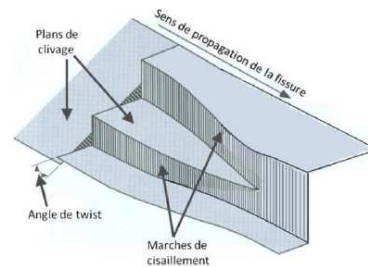
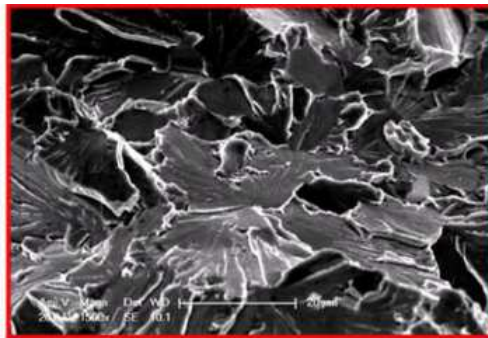


figure V.8 : Faciès de rupture fragile par clivage d'une éprouvette AE4-50 de ICCGHAZ-100s rompue à -160°C ( $\epsilon=4\%$ ). L'attaque Villela révèle la présence d'un composé M-A au site de convergence des rivières.

Astrid Lambert-Perlade. Rupture par clivage de microstructures d'aciers bainitiques obtenues en conditions de soudage. Mécanique [physics.med-ph]. École Nationale Supérieure des Mines de Paris, 2001. Français. <tel-00005749>

A. Zeghloul CFMR Concentration des contraintes près des entailles 3



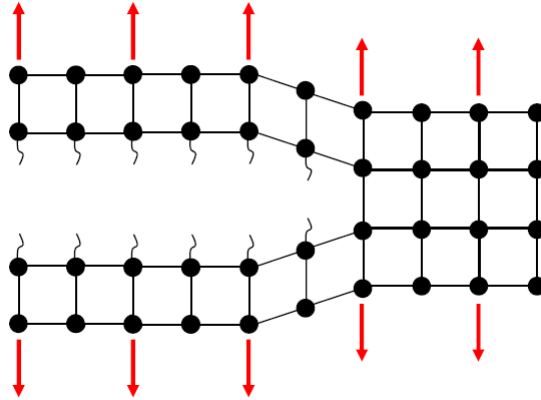
Amaury Bousquet. Critère de propagation et d'arrêt de fissure de clivage dans un acier de cuve REP. Autre. Ecole Centrale Paris, 2013. Français. <NNT : 2013ECAP0002>. <tel-00927524>

Élément	C	S	P	Si	Mn	Ni	Cr	Mo	Cu	Co	Al
Pourcentage massique (a)	$\leq 0,22$	$\leq 0,012$	$\leq 0,02$	$0,1 < \leq 0,3$	$1,15 < \leq 1,6$	$0,5 < \leq 0,8$	$\leq 0,25$	$0,43 < \leq 0,57$	$\leq 0,20$	$\leq 0,03$	$\leq 0,04$
Pourcentage massique (b)	0,16	0,005	0,006	0,19	1,35	0,74	0,18	0,51	0,07	0,01	0,021

Tableau 2.1.a : Composition chimique de l'acier 16MND5 recommandée par le RCCM (a) et de l'étude (b)

A. Zeghloul CFMR Concentration des contraintes près des entailles 4

## Schématisation de la rupture par clivage

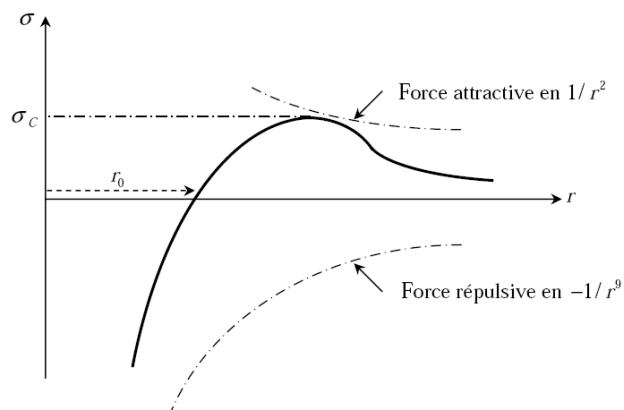


Pour calculer la contrainte de liaison atomique, il est nécessaire d'introduire la distance interatomique  $r$ , puis de considérer la relation entre le déplacement des atomes, autour de leur position d'équilibre  $r_0$ , et la force appliquée. Cette force est la somme d'une composante d'attraction en  $1/r^2$  et d'une composante de répulsion en  $-1/r^9$ .

A. Zeghloul CFMR Concentration des contraintes près des entailles 5

La contrainte de liaison est donc de la forme :  $\sigma = A \left[ \left( \frac{r_0}{r} \right)^2 - \left( \frac{r_0}{r} \right)^9 \right]$

La contrainte théorique de clivage, notée  $\sigma_c$ , est la valeur maximale de  $\sigma$  sur la courbe ci-dessous.



La contrainte de clivage  $\sigma_c$  est calculée par deux méthodes différentes.

A. Zeghloul CFMR Concentration des contraintes près des entailles 6

### Première méthode

La déformation étant donnée par  $\varepsilon = \log \frac{r}{r_0}$ , le module d'Young  $E$  s'écrit :  $E = \frac{d\sigma}{d\varepsilon} \bigg|_{r=r_0} = r_0 \frac{d\sigma}{dr} \bigg|_{r=r_0}$

En utilisant la relation  $\sigma = A \left[ \left( \frac{r_0}{r} \right)^2 - \left( \frac{r_0}{r} \right)^9 \right]$ , il apparaît que :  $E = 7A$

La contrainte théorique de clivage  $\sigma_c$  est définie par la condition  $\frac{d\sigma}{dr} = 0$  soit  $\frac{r_0}{r} = 0,81$ .

Soit finalement :  $\sigma_c \approx \frac{E}{14}$

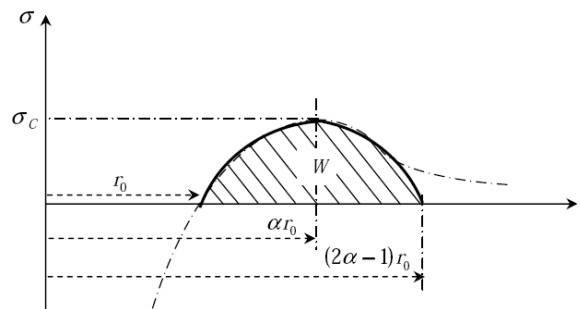
Cette contrainte théorique de clivage est plus élevée de plusieurs ordres de grandeur que la contrainte mesurée expérimentalement. En fait les défauts sous forme de fissure ou d'entaille aiguë concentrent les contraintes dans leur voisinage et provoquent ainsi des mécanismes d'amplification, si bien que la contrainte locale qui correspond à la contrainte théorique de clivage est bien plus élevée que la contrainte appliquée expérimentalement.

A. Zeghloul

CFMR Concentration des contraintes près des entailles 7

### Deuxième méthode

Cette méthode utilise l'énergie de cohésion. Pour simplifier les calculs, on assimile la courbe  $\sigma = \sigma(r)$  à une sinusoïde comme indiquée sur la figure suivante



Sous cette hypothèse, la contrainte de liaison pour  $r > r_0$  s'écrit :

$$\sigma = \sigma_c \sin \left[ \frac{\pi}{2(\alpha - 1)} \left( \frac{r}{r_0} - 1 \right) \right]$$

si bien que le module d'Young devient :  $E = r_0 \frac{d\sigma}{dr} \bigg|_{r=r_0} = \sigma_c \frac{\pi}{2(\alpha - 1)}$

A. Zeghloul

CFMR Concentration des contraintes près des entailles 8

D'autre part, on appelle **énergie de cohésion** par unité de surface, la quantité notée  $W$ ,

et définie par :  $W = \int_{r_0}^{(2\alpha-1)r_0} \sigma dr$  (aire hachurée de la figure précédente) :

$$W = 4 \frac{\alpha - 1}{\pi} r_0 \sigma_c$$

Lors de la rupture, deux surfaces sont créées ; on pose alors  $W=2\gamma_s$  où  $\gamma_s$  est l'énergie spécifique de création de surface, ce qui permet d'écrire

$$\gamma_s = 2 \frac{\alpha - 1}{\pi} r_0 \sigma_c$$

En éliminant  $\alpha$  entre cette dernière relation et la relation

$$\left( E = r_0 \frac{d\sigma}{dr} \right)_{r=r_0} = \sigma_c \frac{\pi}{2(\alpha - 1)}$$

on obtient  $\gamma_s = \frac{\sigma_c}{E} r_0 \sigma_c$  soit :

$$\sigma_c = \sqrt{\frac{E \gamma_s}{r_0}}$$

Cette contrainte est elle aussi bien plus élevée que les valeurs expérimentales.

A. Zeghloul

CFMR Concentration des contraintes près des entailles 9

### Valeurs de la contrainte théorique de clivage $\sigma_{th}$ déduites de

$$\sigma_c = \sqrt{\frac{E \gamma_s}{r_0}}$$

$$r_0 \approx 2\text{Å} = 2 \cdot 10^{-10} \text{ m}$$

Matériaux	$\gamma$ (J.m <sup>-2</sup> )	$E$ (Gpa)	$\sigma_{th}$ (Gpa)
Fer	2,0	210	46
Cuivre	1,65	120	31
Zinc	0,75	90	18
Aluminium	0,90	73	18
Tungstène	3,0	360	73
Diamant	5,4	1200	180
Chlorure de sodium	0,115	43	6,2
Oxyde d'aluminium	4,6	420	67
Verre ordinaire	0,54	70	14

$$\sigma_c^{th} \gg \sigma_c^{exp}$$

A. Zeghloul

CFMR Concentration des contraintes près des entailles 10

A l'extrémité d'un défaut de forme elliptique de longueur  $2a$  et de rayon à fond d'entaille  $\rho$ , la contrainte locale  $\sigma_L$  est donnée par :

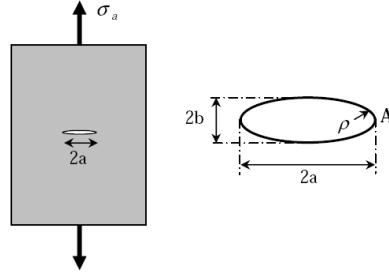
$$\sigma_L(A) = \sigma_a \left( 1 + 2 \frac{a}{b} \right) = \sigma_a \left( 1 + 2 \sqrt{\frac{a}{\rho}} \right)$$

Dans le cas d'une entaille très aiguë,  $\rho \ll a$  si bien que :

$$\sigma_L(A) \approx 2\sigma_a \sqrt{\frac{a}{\rho}}$$

Si on prend par exemple le rayon à fond d'entaille  $\rho$  de l'ordre d'une distance interatomique  $r_0$ , la contrainte locale devient :

$$\sigma_L(A) \approx 2\sigma_a \sqrt{\frac{a}{r_0}}$$



A. Zeghloul

CFMR Concentration des contraintes près des entailles 11

La comparaison des deux relations établies précédemment :

$$\sigma_L(A) \approx 2\sigma_a \sqrt{\frac{a}{r_0}}$$

$$\sigma_c \approx \sqrt{\frac{E\gamma_s}{r_0}}$$

Permet d'écrire la contrainte expérimentale de rupture par clivage  $\sigma_a$  sous la forme suivante :

$$\sigma_a \approx \sqrt{\frac{E\gamma_s}{4a}}$$

Cette approximation n'est qu'une estimation de la contrainte de rupture expérimentale par clivage puisqu'à l'échelle atomique, le milieu ne peut être considéré comme continu. Des simulations numériques où les liaisons entre atomes sont modélisées par des ressorts non linéaires, montrent que cette contrainte est de la forme :

$$\sigma_a \approx \beta \sqrt{\frac{E\gamma_s}{a}}$$

$$\text{où } \frac{1}{2} < \beta < 1$$

A. Zeghloul

CFMR Concentration des contraintes près des entailles 12



## Master Mécanique-Matériaux-Structures-Procédés

# Concepts fondamentaux de la mécanique de la rupture

## Chapitre 4 – Intensification des contraintes à l'extrémité des fissures

*Prof. Abderrahim Zeghloul*  
*Université de Lorraine*

13

## SOMMAIRE

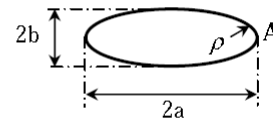
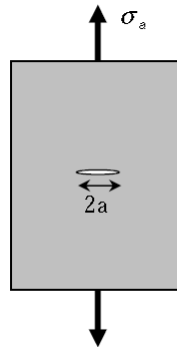
- Introduction – Concept de facteur d'intensité des contraintes  $K$ 
  - Modes de sollicitation des fissures
    - Approche de Westergaard
  - Expression des champs de contrainte et de déplacement
- Définition du FIC  $K$  et expressions des champs de contrainte et de déplacement
  - Mode de cisaillement anti-plan
  - Principe de superposition
  - Zone plastifiée à fond de fissure
- Méthodes pratiques de calcul du FIC – Méthode des fonctions poids
  - Ténacité - FIC critique
  - Approche énergétique de Griffith
  - Relation entre énergie de Griffith et FIC  $K$

## Introduction

La concentration des contraintes au voisinage d'une entaille, étudiée dans le chapitre précédent, a permis d'introduire le facteur de concentration des contraintes  $K_t$ , un paramètre important pour caractériser la sévérité d'une entaille. Ce paramètre est défini pour une plaque percée d'un trou de forme elliptique à partir des longueurs  $2a$  et  $2b$  des petit axe et grand axe de l'ellipse, ou de  $a$  et du rayon à fond d'entaille  $\rho = b^2 / a$  :

$$K_t = 1 + 2 \frac{a}{b} = 1 + 2 \sqrt{\frac{a}{\rho}}$$

$$\sigma_{\max}(A) = K_t \sigma_a$$



A. Zeghloul

CFMR Intensification des contraintes à l'extrémité des fissures 15

Une fissure peut être considérée comme une entaille elliptique très aplatie, c'est-à-dire avec  $b \ll a$  ou encore  $\rho \ll a$ . Dans ces conditions,  $K_t \rightarrow \infty$  et le concept de facteur de concentration des contraintes ne peut alors décrire la répartition des contraintes à l'extrémité d'une fissure. Il est donc nécessaire d'introduire un nouveau paramètre pour caractériser cette répartition : s'appuyant sur les travaux de Westergaard<sup>1</sup>, Irwin<sup>2</sup> proposa le concept de Facteur d'Intensité des Contraintes (FIC). L'application du concept de FIC à la description de la propagation des fissures est appelée communément *Mécanique Linéaire de La Rupture*.

L'utilisation du FIC comme paramètre unique pour décrire la répartition des contraintes au voisinage d'une fissure est justifiée par les similitudes que l'on peut observer entre différentes fissures soumises à des contraintes de traction. La figure 1 montre des clichés obtenus par la méthode photo-élastique pour trois fissures différentes dans une plaque chargée en traction. Ces clichés montrent des franges très similaires, ce qui suggère qu'il en est de même de la répartition des contraintes aux extrémités de ces fissures.

<sup>1</sup> H.M. Westergaard, *Bearing pressures and cracks*, Journal of Applied Mechanics, p. A49-A53, 1939

<sup>2</sup> G.R. Irwin, *Analysis of Stresses and Strains near the end of a crack traversing a plate*, Journal of Applied Mechanics, p. 361-364, 1957

A. Zeghloul

CFMR Intensification des contraintes à l'extrémité des fissures 16



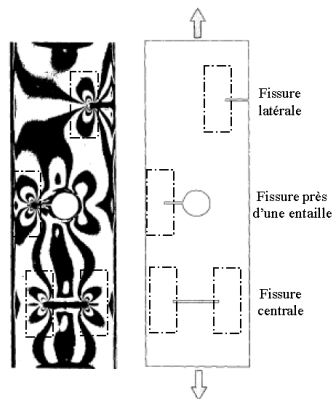


Figure 1. Clichés de photo-élasticité montrant la similitude des champs de contraintes pour trois fissures différentes

Le concept de FIC est présenté dans ce chapitre. Pour déterminer les champs des contraintes et des déplacements à l'extrémité d'une fissure on utilise l'approche de Westergaard qui s'appuie sur les potentiels complexes définissant la fonction d'Airy introduits précédemment. Ces champs sont définis au voisinage immédiat de l'extrémité d'une fissure.

A. Zegloul CFMR Intensification des contraintes à l'extrémité des fissures 17

### Modes de sollicitation des fissures

Si on considère une fissure dans un plan, on distingue selon la direction de sollicitation trois modes de déplacement des lèvres de la fissure. Ces modes indiqués sur la figure 2 correspondent à différentes cinématiques de déplacement des lèvres de la fissure :

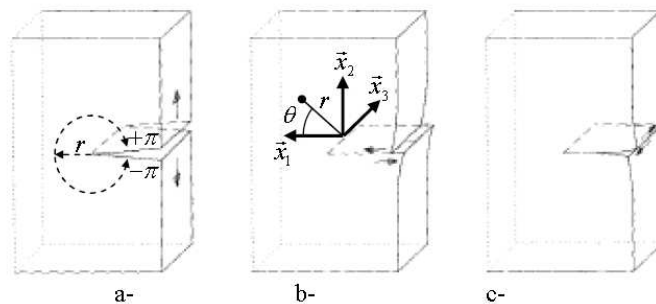


Figure 2. Modes de sollicitation d'une fissure : a- mode I ou mode d'ouverture b- mode II ou de cisaillement plan c- mode III ou de cisaillement antiparallèle

A. Zegloul CFMR Intensification des contraintes à l'extrémité des fissures 18

- **Mode I ou mode d'ouverture** ; le champ de déplacement relatif des lèvres de la fissure est défini par :

$$u_1 = 0, \quad u_2(x_1) \neq 0, \quad u_3 = 0$$

- **Mode II ou mode de cisaillement plan** ; le champ de déplacement relatif des lèvres de la fissure est défini par :

$$u_1(x_1) \neq 0, \quad u_2 = 0, \quad u_3 = 0$$

- **Mode III ou mode de cisaillement antiplan** ; le champ de déplacement relatif des lèvres de la fissure est défini par :

$$u_1 = 0, \quad u_2 = 0, \quad u_3(x_1) \neq 0$$

Les modes I et II correspondent à des sollicitations planes, ce qui n'est pas le cas du mode III. Le mode I conduit à une discontinuité des déplacements selon la direction  $\vec{x}_2$  :  $u_2(r, -\pi) = -u_2(r, \pi)$  ; alors que dans le mode II, la discontinuité est selon la direction  $\vec{x}_1$  :  $u_1(r, -\pi) = -u_1(r, \pi)$ .

A. Zeghloul CFMR Intensification des contraintes à l'extrémité des fissures 19

Les fissures en service ne se présentent pas toujours dans la configuration schématisée sur la figure 2. Lorsqu'elles sont suffisamment longues, elles traversent en général les structures minces telles des plaques, par exemple. Dans les structures plus épaisses, elles peuvent être de coin ou de surface. La figure 3 montre par exemple les différentes configurations de fissures que l'on peut observer au voisinage d'une entaille circulaire. Une fissure traversante avec un front bien défini est généralement traitée comme un problème bi dimensionnel. Pour les fissures de coin ou de surface, on a recours à des calculs tri dimensionnels pour déterminer les champs de contraintes et de déplacements.

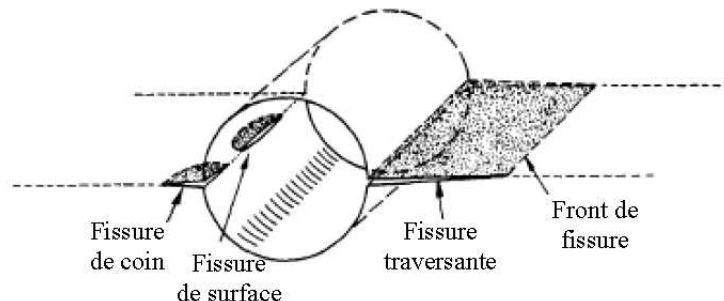


Figure 3. Différentes configurations de fissures au voisinage d'un trou circulaire

A. Zeghloul CFMR Intensification des contraintes à l'extrémité des fissures 20

### Approche de Westergaard

En élasticité plane, les contraintes dérivent d'une fonction de contrainte biharmonique : la fonction d'Airy, notée  $A$ , dont l'expression en fonction des potentiels complexes  $\varphi(z)$  et  $\chi(z)$  est :

$$A = \operatorname{Re}(\bar{z}\varphi(z) + \chi(z))$$

Les contraintes sont données par :

$$\begin{cases} \sigma_y + \sigma_x = 4 \operatorname{Re} \varphi'(z) \\ \sigma_y - \sigma_x + 2i\sigma_{xy} = 2(\bar{z}\varphi''(z) + \chi''(z)) \end{cases}$$

$$\Rightarrow \begin{cases} \sigma_x = \operatorname{Re}(2\varphi'(z) - \bar{z}\varphi''(z) - \chi''(z)) \\ \sigma_y = \operatorname{Re}(2\varphi'(z) + \bar{z}\varphi''(z) + \chi''(z)) \\ \sigma_{xy} = \operatorname{Im}(\bar{z}\varphi''(z) + \chi''(z)) \end{cases}$$

A. Zeghloul CFMR Intensification des contraintes à l'extrémité des fissures 21

Considérons à présent un corps solide fissuré, avec une taille de fissure très petite par rapport aux dimensions du corps fissuré. Le corps fissuré étant soumis à un chargement donné, on note  $2a$  la longueur de la fissure (figure 4).

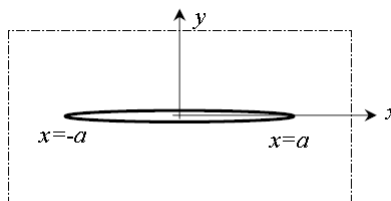


Figure 4. Fissure de longueur  $2a$

Les lèvres  $L$  de la fissure sont non chargées et donc le vecteur contrainte  $\vec{T}(M \in L, \vec{n})$  est nul. La normale aux lèvres étant  $\vec{n} = \pm \vec{y}$ , on a  $\vec{T}(M \in L, \pm \vec{y}) = \vec{\sigma} \cdot (\pm \vec{y}) = \vec{0}$ , soit :

$$\sigma_y = \sigma_{xy} = 0 \text{ pour } \begin{cases} z = \bar{z} \\ |z| < a \end{cases}$$

A. Zeghloul CFMR Intensification des contraintes à l'extrémité des fissures 22

$$\begin{cases} \sigma_x = \operatorname{Re}(2\varphi'(z) - \bar{z}\varphi''(z) - \chi''(z)) \\ \sigma_y = \operatorname{Re}(2\varphi'(z) + \bar{z}\varphi''(z) + \chi''(z)) \\ \sigma_{xy} = \operatorname{Im}(\bar{z}\varphi''(z) + \chi''(z)) \end{cases}$$

Les CL précédentes sur les lèvres de la fissure conduisent donc à :

$$\begin{cases} \operatorname{Re}(2\varphi'(z) + \bar{z}\varphi''(z) + \chi''(z)) = 0 \\ \operatorname{Im}(\bar{z}\varphi''(z) + \chi''(z)) = 0 \end{cases} \quad \text{pour} \quad \begin{cases} z = \bar{z} \\ |z| < a \end{cases}$$

$$\Rightarrow \begin{cases} 2\varphi'(z) + z\varphi''(z) + \chi''(z) \text{ imaginaire pur} \\ z\varphi''(z) + \chi''(z) \text{ réel pur} \end{cases} \quad \text{sur les lèvres } L$$

$$\Rightarrow \operatorname{Re}(2\varphi'(z)) = -z\varphi''(z) - \chi''(z)$$

A. Zeghloul CFMR Intensification des contraintes à l'extrémité des fissures 23

$$\operatorname{Re}(2\varphi'(z)) = -z\varphi''(z) - \chi''(z)$$

La fonction  $\varphi$  peut être décomposée en deux fonctions  $\varphi_1$  et  $\varphi_2$  comme suit :

$$\begin{cases} \varphi = \frac{\varphi_1 + \varphi_2}{2} \\ \varphi'_2 = -z\varphi'' - \chi'' \end{cases} \quad \text{avec} \quad \begin{cases} \varphi_1 \text{ et ses dérivées imaginaires} \\ \varphi_2 \text{ et ses dérivées réelles} \end{cases} \quad \text{sur } L$$

En intégrant la relation  $\chi'' = -z\varphi'' - \varphi'_2 = -d(z\varphi') + \varphi'_1 - \varphi'_2$ , on obtient :

$$\chi'(z) = -z\varphi' + \varphi - \varphi_2 = -d(z\varphi) + 2\varphi - \varphi_2 = -d(z\varphi) + \varphi_1$$

$$\Rightarrow \chi(z) = -z\varphi + \int \varphi_1 dz \quad A = \operatorname{Re}(\bar{z}\varphi(z) + \chi(z))$$

$$\Rightarrow A = \operatorname{Re}(\bar{z}\varphi - z\varphi + \int \varphi_1 dz)$$

A. Zeghloul CFMR Intensification des contraintes à l'extrémité des fissures 24

$$\varphi'_2 = -z\varphi'' - \chi''$$

$$\begin{cases} \sigma_x = \operatorname{Re}(2\varphi' - \bar{z}\varphi'' - \chi'') \\ \sigma_y = \operatorname{Re}(2\varphi' + \bar{z}\varphi'' + \chi'') \\ \sigma_{xy} = \operatorname{Im}(\bar{z}\varphi'' + \chi'') \end{cases}$$

$$\begin{cases} \sigma_x = \operatorname{Re}(\varphi'_1 + 2\varphi'_2 + z\varphi'' - \bar{z}\varphi'') \\ \sigma_y = \operatorname{Re}(\varphi'_1 + \bar{z}\varphi'' - z\varphi'') \\ \sigma_{xy} = \operatorname{Im}(\bar{z}\varphi'' - z\varphi'' - \varphi'_2) \end{cases}$$

$$\begin{cases} z = x + iy \\ \bar{z} = x - iy \end{cases}$$

$$\begin{cases} \sigma_x = \operatorname{Re}\varphi'_1 - y\operatorname{Im}\varphi''_1 + 2\operatorname{Re}\varphi'_2 - y\operatorname{Im}\varphi''_2 \\ \sigma_y = \operatorname{Re}\varphi'_1 + y\operatorname{Im}\varphi''_1 + y\operatorname{Im}\varphi''_2 \\ \sigma_{xy} = -y\operatorname{Re}\varphi''_1 - y\operatorname{Re}\varphi''_2 - \operatorname{Im}\varphi'_2 \end{cases}$$

$$A = \operatorname{Re}(\bar{z}\varphi - z\varphi + \int \varphi_1 dz) = \underbrace{\operatorname{Re} \int \varphi_1 dz}_{A_I} + \underbrace{y\operatorname{Im}\varphi_1 + y\operatorname{Im}\varphi_2}_{A_{II}}$$

A. Zeghloul CFMR Intensification des contraintes à l'extrémité des fissures 25

Il apparaît donc que le champ des contraintes  $[\sigma]$  est la somme de deux champs  $[\sigma_I]$  et  $[\sigma_{II}]$  dérivant des fonctions d'Airy suivantes :

$$\begin{cases} A_I = \operatorname{Re} \int \varphi_1 dz + y\operatorname{Im}\varphi_1 & \rightarrow \text{Mode I} \\ A_{II} = y\operatorname{Im}\varphi_2 & \rightarrow \text{Mode II} \end{cases}$$

**Westergaard définit pour ces modes les fonctions analytiques suivantes :**

$$\begin{cases} Z_I(z) = \varphi'_1(z) \\ Z_{II}(z) = i\varphi'_2(z) \end{cases}$$

Cet auteur note ensuite  $Z', Z'' \dots$  les dérivées successives de la fonction  $Z(z)$ , et  $\bar{Z}, \bar{\bar{Z}} \dots$  ses primitives successives.

$$\begin{cases} A_I = \operatorname{Re} \bar{\bar{Z}}_I + y\operatorname{Im} \bar{Z}_I \\ A_{II} = -y\operatorname{Im} i\bar{Z}_{II} = -y\operatorname{Re} \bar{Z}_{II} \end{cases}$$

## **Expressions des contraintes et des déplacements par la méthode de Westergaard**

Avant d'effectuer les calculs, il convient de rappeler que pour toute fonction analytique  $g(z)$ , on a :

$$g = \alpha + i\beta = \operatorname{Re} g + i \operatorname{Im} g$$

$$g' = \frac{dg}{dz} = \frac{\partial g}{\partial x} = -i \frac{\partial g}{\partial y} \quad \text{d'où} \quad \frac{\partial \alpha}{\partial x} + i \frac{\partial \beta}{\partial x} = -i \frac{\partial \alpha}{\partial y} + \frac{\partial \beta}{\partial y}$$

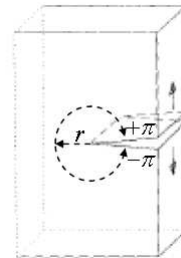
Il s'ensuit donc que :

$$\begin{cases} \operatorname{Re} g' = \frac{\partial}{\partial x} \operatorname{Re} g = \frac{\partial}{\partial y} \operatorname{Im} g \\ \operatorname{Im} g' = \frac{\partial}{\partial x} \operatorname{Im} g = -\frac{\partial}{\partial y} \operatorname{Re} g \end{cases}$$

A. Zeghloul      CFMR Intensification des contraintes à l'extrémité des fissures    27

### **Mode I d'ouverture**

$$\begin{cases} \sigma_x = \operatorname{Re} \varphi'_1 - y \operatorname{Im} \varphi''_1 + 2 \operatorname{Re} \varphi'_2 - y \operatorname{Im} \varphi''_2 \\ \sigma_y = \operatorname{Re} \varphi'_1 + y \operatorname{Im} \varphi''_1 + y \operatorname{Im} \varphi''_2 \\ \sigma_{xy} = -y \operatorname{Re} \varphi''_1 - y \operatorname{Re} \varphi''_2 - \operatorname{Im} \varphi'_2 \end{cases}$$



### **Expressions des contraintes**

$$\text{comme } \varphi'_1 = Z_I \Rightarrow$$

$$\begin{cases} \sigma_x = \operatorname{Re} \varphi'_1 - y \operatorname{Im} \varphi''_1 \\ \sigma_y = \operatorname{Re} \varphi'_1 + y \operatorname{Im} \varphi''_1 \\ \sigma_{xy} = -y \operatorname{Re} \varphi''_1 \end{cases}$$

$$\begin{cases} \sigma_x = \operatorname{Re} Z_I - y \operatorname{Im} Z'_I \\ \sigma_y = \operatorname{Re} Z_I + y \operatorname{Im} Z'_I \\ \sigma_{xy} = -y \operatorname{Re} Z'_I \end{cases}$$

A. Zeghloul      CFMR Intensification des contraintes à l'extrémité des fissures    28

### Expressions des déplacements

$$\text{Loi de Hooke} \begin{cases} 2\mu\epsilon_x = (1-\nu^*)\sigma_x - \nu^*\sigma_y \\ 2\mu\epsilon_y = (1-\nu^*)\sigma_y - \nu^*\sigma_x \\ 2\mu\epsilon_{xy} = \sigma_{xy} \end{cases}$$

$$\text{avec} \begin{cases} \nu^* = \nu \text{ en DP} \\ \nu^* = \frac{\nu}{1+\nu} \text{ en CP} \end{cases}$$

$$\begin{cases} \sigma_x = \text{Re } Z_I - y \text{Im } Z'_I \\ \sigma_y = \text{Re } Z_I + y \text{Im } Z'_I \\ \sigma_{xy} = -y \text{Re } Z'_I \end{cases}$$

$$2\mu\epsilon_x = (1-2\nu^*) \text{Re } Z_I - y \text{Im } Z'_I = 2\mu \frac{\partial u_x}{\partial x}$$

$$\Rightarrow 2\mu u_x = (1-2\nu^*) \text{Re } \bar{Z}_I - y \text{Im } Z_I$$

A. Zeghloul

CFMR Intensification des contraintes à l'extrémité des fissures 29

$$2\mu\epsilon_y = \begin{cases} (1-\nu^*)\sigma_y - \nu^*\sigma_x \\ (1-2\nu^*) \text{Re } Z_I + y \text{Im } Z'_I \end{cases}$$

$$\begin{cases} \sigma_x = \text{Re } Z_I - y \text{Im } Z'_I \\ \sigma_y = \text{Re } Z_I + y \text{Im } Z'_I \\ \sigma_{xy} = -y \text{Re } Z'_I \end{cases}$$

$$\begin{cases} \text{Re } Z_I = \frac{\partial}{\partial y} \text{Im } \bar{Z}_I \\ \text{Im } Z'_I = -\frac{\partial}{\partial y} \text{Re } Z_I \end{cases}$$

$$\begin{cases} \text{Re } g' = \frac{\partial}{\partial x} \text{Re } g = \frac{\partial}{\partial y} \text{Im } g \\ \text{Im } g' = \frac{\partial}{\partial x} \text{Im } g = -\frac{\partial}{\partial y} \text{Re } g \end{cases}$$

$$y \text{Im } Z'_I = -y \frac{\partial}{\partial y} \text{Re } Z_I = -\frac{\partial}{\partial y} (y \text{Re } Z_I) + \underbrace{\text{Re } Z_I}_{\frac{\partial}{\partial y} \text{Im } \bar{Z}_I}$$

$$2\mu \frac{\partial u_y}{\partial y} = 2(1-\nu^*) \frac{\partial}{\partial y} \text{Im } \bar{Z}_I - \frac{\partial}{\partial y} (y \text{Re } Z_I)$$

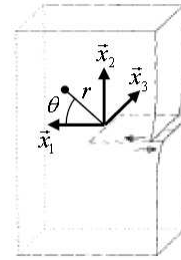
$$\Rightarrow 2\mu u_y = 2(1-\nu^*) \text{Im } \bar{Z}_I - y \text{Re } Z_I$$

A. Zeghloul

CFMR Intensification des contraintes à l'extrémité des fissures 30

**Mode II - cisaillement plan**

$$\begin{cases} \sigma_x = \operatorname{Re} \varphi'_1 - y \operatorname{Im} \varphi''_1 + 2 \operatorname{Re} \varphi'_2 - y \operatorname{Im} \varphi''_2 \\ \sigma_y = \operatorname{Re} \varphi'_1 + y \operatorname{Im} \varphi''_1 + y \operatorname{Im} \varphi''_2 \\ \sigma_{xy} = -y \operatorname{Re} \varphi''_1 - y \operatorname{Re} \varphi''_2 - \operatorname{Im} \varphi'_2 \end{cases}$$

**Expressions des contraintes**

$$\begin{cases} \sigma_x = 2 \operatorname{Re} \varphi'_2 - y \operatorname{Im} \varphi''_2 \\ \sigma_y = y \operatorname{Im} \varphi''_2 \\ \sigma_{xy} = -y \operatorname{Re} \varphi''_2 - \operatorname{Im} \varphi'_2 \end{cases}$$

$$\text{comme } \varphi'_2 = -iZ_{II} \Rightarrow$$

$$\begin{cases} \sigma_x = 2 \operatorname{Im} Z_{II} + y \operatorname{Re} Z'_{II} \\ \sigma_y = -y \operatorname{Re} Z'_{II} \\ \sigma_{xy} = \operatorname{Re} Z_{II} - y \operatorname{Im} Z'_{II} \end{cases}$$

A. Zeghloul

CFMR Intensification des contraintes à l'extrémité des fissures 31

**Expressions des déplacements**

$$\text{Loi de Hooke } \begin{cases} 2\mu\epsilon_x = (1-\nu^*)\sigma_x - \nu^*\sigma_y \\ 2\mu\epsilon_y = (1-\nu^*)\sigma_y - \nu^*\sigma_x \\ 2\mu\epsilon_{xy} = \sigma_{xy} \end{cases}$$

$$\begin{cases} \sigma_x = 2 \operatorname{Im} Z_{II} + y \operatorname{Re} Z'_{II} \\ \sigma_y = -y \operatorname{Re} Z'_{II} \\ \sigma_{xy} = \operatorname{Re} Z_{II} - y \operatorname{Im} Z'_{II} \end{cases}$$

$$2\mu\epsilon_x = 2(1-\nu^*) \operatorname{Im} Z_{II} + y \operatorname{Re} Z'_{II} = 2\mu \frac{\partial u_x}{\partial x}$$

$$\Rightarrow 2\mu u_x = 2(1-\nu^*) \operatorname{Im} \bar{Z}_{II} + y \operatorname{Re} Z_{II}$$

A. Zeghloul

CFMR Intensification des contraintes à l'extrémité des fissures 32



$$2\mu\epsilon_y = \begin{cases} (1-\nu^*)\sigma_y - \nu^*\sigma_x \\ -2\nu^*\text{Im } Z_{II} - y\text{Re } Z'_{II} \end{cases}$$

$$\begin{cases} \sigma_x = 2\text{Im } Z_{II} + y\text{Re } Z'_{II} \\ \sigma_y = -y\text{Re } Z'_{II} \\ \sigma_{xy} = \text{Re } Z_{II} - y\text{Im } Z'_{II} \end{cases}$$

$$\begin{cases} \text{Re } Z'_{II} = \frac{\partial}{\partial y} \text{Im } Z_{II} \\ \text{Im } Z_{II} = -\frac{\partial}{\partial y} \text{Re } \bar{Z}_{II} \end{cases}$$

$$\begin{cases} \text{Re } g' = \frac{\partial}{\partial x} \text{Re } g = \frac{\partial}{\partial y} \text{Im } g \\ \text{Im } g' = \frac{\partial}{\partial x} \text{Im } g = -\frac{\partial}{\partial y} \text{Re } g \end{cases}$$

$$-y\text{Re } Z'_{II} = -y\frac{\partial}{\partial y} \text{Im } Z_{II} = -\frac{\partial}{\partial y} (y\text{Im } Z_{II}) + \underbrace{\text{Im } Z_{II}}_{-\frac{\partial}{\partial y} \text{Re } \bar{Z}_{II}}$$

$$2\mu\frac{\partial u_y}{\partial y} = -(1-2\nu^*)\frac{\partial}{\partial y} \text{Re } \bar{Z}_{II} - \frac{\partial}{\partial y} (y\text{Im } Z_{II})$$

$$\Rightarrow 2\mu u_y = -((1-2\nu^*)\text{Re } \bar{Z}_{II} + y\text{Im } Z_{II})$$

A. Zegloul

CFMR Intensification des contraintes à l'extrémité des fissures 33

### Expressions des contraintes et des déplacements à partir du facteur d'intensité des contraintes

Il convient dans un premier temps de déterminer les fonctions analytiques  $Z_I$  et  $Z_{II}$  introduites par Westergaard. Considérons par exemple la fonction  $Z_I$  (le raisonnement est applicable au mode II aussi) et examinons les conditions limites au voisinage des extrémités d'une petite fissure de longueur  $2a$  sollicitée en mode I (figure 5).

$$\begin{cases} \sigma_x = \text{Re } Z_I - y\text{Im } Z'_I \\ \sigma_y = \text{Re } Z_I + y\text{Im } Z'_I \\ \sigma_{xy} = -y\text{Re } Z'_I \end{cases}$$

Sur le plan de la fissure (à  $y=0$ ), on a :

$$\begin{cases} \sigma_x = \sigma_y = \text{Re } Z_I \\ \sigma_{xy} = 0 \end{cases} \text{ à } y=0$$

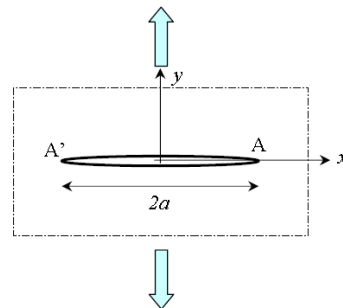


Figure 5. Fissure de longueur  $2a$  sollicitée en mode I

A. Zegloul

CFMR Intensification des contraintes à l'extrémité des fissures 34

Les lèvres de la fissure étant non chargées, les CL sont :  $\begin{cases} \sigma_y = \sigma_{xy} = 0 \\ \text{à } y = 0 \text{ et } |z| < a \end{cases}$

Des deux relations précédentes, on déduit que :

$$\begin{cases} \sigma_x = \sigma_y = \sigma_{xy} = 0 \\ \text{à } y = 0 \text{ et } |z| < a \end{cases}$$

$$\begin{cases} \sigma_x = \sigma_y = \operatorname{Re} Z_I \\ \sigma_{xy} = 0 \end{cases} \text{ à } y = 0$$

Considérons à présent la contrainte  $\sigma_y$  seule. De part et d'autre des extrémités de la fissure, elle est soit nulle, soit elle tend vers l'infini ( $K_I \rightarrow \infty$ ). Il s'ensuit que la fonction  $Z_I(z)$  doit être de la forme :

$$Z_I(z) = \frac{g(z)}{\sqrt{z^2 - a^2}}$$

Avec  $g(z)$  fonction réelle pour  $y=0$  et finie pour  $z=\pm a$

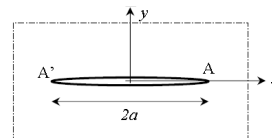
A. Zeghloul

CFMR Intensification des contraintes à l'extrémité des fissures 35

Les conditions limites sont alors vérifiées puisque sur le plan de la fissure, on a :

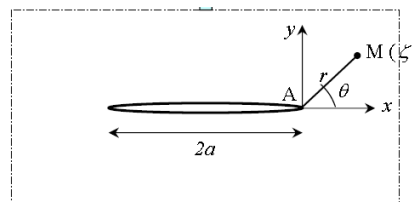
$$\frac{1}{\sqrt{z^2 - a^2}} \text{ imaginaire pur pour } |z| < a \Rightarrow \operatorname{Re} Z_I = 0$$

$$\frac{1}{\sqrt{z^2 - a^2}} \text{ réel pur pour } |z| > a \Rightarrow \operatorname{Re} Z_I \xrightarrow{z \rightarrow +a^+} \infty \xrightarrow{z \rightarrow -a^-}$$



Les extrémités A et A' jouent des rôles identiques. On fait alors une translation de repère avec pour origine A, ce qui équivaut au changement de variable suivant :

$$\zeta = z - a$$



Un point M sera repéré par rapport à A par :

$$\zeta = re^{i\theta}$$

A. Zeghloul

CFMR Intensification des contraintes à l'extrémité des fissures 36

La fonction de contrainte de Westergaard s'écrit alors :

$$Z_I(z) = \frac{g_1(\zeta)}{\sqrt{\zeta}} \quad \text{avec} \quad g_1(\zeta) = \alpha_0 + \alpha_1\zeta + \alpha_2\zeta^2 + \dots$$

Comme on cherche à déterminer les champs de contraintes et de déplacements au voisinage immédiat de l'extrémité A de la fissure (champs asymptotique), c'est à dire lorsque  $|\zeta| \rightarrow 0$ , la fonction  $Z_I(\zeta)$  peut s'écrire :

$$Z_I(\zeta) \approx \frac{\alpha_0}{\sqrt{\zeta}}$$

*Le facteur d'intensité des contraintes (FIC) que l'on note  $K_I$  en mode I d'ouverture, est défini par :*

$$K_I = \lim_{z \rightarrow a} \sqrt{2\pi(z-a)} Z_I(z) = \lim_{\zeta \rightarrow 0} \sqrt{2\pi\zeta} Z_I(\zeta) = \sqrt{2\pi}\alpha_0$$

A. Zegloul

CFMR Intensification des contraintes à l'extrémité des fissures 37

$$Z_I(z) = \frac{K_I}{\sqrt{2\pi\zeta}}$$

Comme la fonction de Westergaard  $Z$  a la dimension d'une contrainte, le FIC  $K_I$  aura pour dimension une contrainte  $\cdot \sqrt{\text{longueur}}$  ; l'unité usuelle pour le FIC est le  $MPa\sqrt{m}$ .

- Pour le mode de cisaillement plan (mode II), la même démarche que précédemment conduit à un résultat similaire au voisinage immédiat de l'extrémité de la fissure :

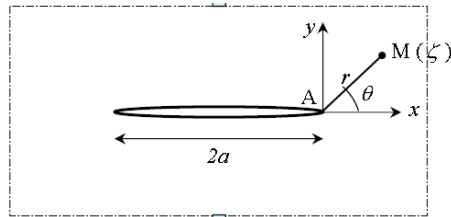
$$Z_{II}(z) = \frac{K_{II}}{\sqrt{2\pi\zeta}}$$

avec  $K_{II}$  *facteur d'intensité des contraintes en mode II (cisaillement plan).*

A. Zegloul

CFMR Intensification des contraintes à l'extrémité des fissures 38

$$Z_I(\zeta) = \frac{K_I}{\sqrt{2\pi\zeta}} \quad \text{avec} \quad \zeta = re^{i\theta}$$



$$\operatorname{Re} Z_I = \frac{K_I}{\sqrt{2\pi r}} \cos \frac{\theta}{2} \quad \operatorname{Im} Z_I = -\frac{K_I}{\sqrt{2\pi r}} \sin \frac{\theta}{2}$$

$$Z'_I = -\frac{1}{2} \frac{K_I}{\sqrt{2\pi\zeta^{3/2}}} \quad \operatorname{Re} Z'_I = -\frac{1}{2r} \frac{K_I}{\sqrt{2\pi r}} \cos \frac{3\theta}{2} \quad \operatorname{Im} Z'_I = \frac{1}{2r} \frac{K_I}{\sqrt{2\pi r}} \sin \frac{3\theta}{2}$$

$$\bar{Z}_I = 2 \frac{K_I}{\sqrt{2\pi}} \zeta^{1/2} \quad \operatorname{Re} \bar{Z}_I = 2K_I \sqrt{\frac{r}{2\pi}} \cos \frac{\theta}{2} \quad \operatorname{Im} \bar{Z}_I = 2K_I \sqrt{\frac{r}{2\pi}} \sin \frac{\theta}{2}$$

A. Zeghloul CFMR Intensification des contraintes à l'extrémité des fissures 39

### Expressions des contraintes et des déplacements

A partir des expressions précédentes des dérivées et primitives de  $Z_I$ , et en notant que :

$$y = 2r \sin \frac{\theta}{2} \cos \frac{\theta}{2}$$

on calcule les contraintes et les déplacements (schématisés ci-dessous) en se servant des relations suivantes :

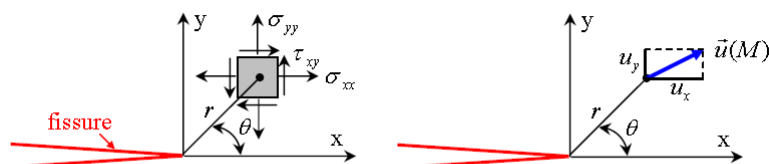


Figure 7. Contraintes et déplacements au voisinage de l'extrémité d'une fissure

A. Zeghloul CFMR Intensification des contraintes à l'extrémité des fissures 40

$$\begin{cases} \sigma_x = \operatorname{Re} Z_I - y \operatorname{Im} Z'_I \\ \sigma_y = \operatorname{Re} Z_I + y \operatorname{Im} Z'_I \\ \sigma_{xy} = -y \operatorname{Re} Z'_I \end{cases}
\quad
\begin{cases} 2\mu u_x = (1-2\nu^*) \operatorname{Re} \bar{Z}_I - y \operatorname{Im} Z_I \\ 2\mu u_y = 2(1-\nu^*) \operatorname{Im} \bar{Z}_I - y \operatorname{Re} Z_I \end{cases}$$

$$\operatorname{Re} Z_I = \frac{K_I}{\sqrt{2\pi r}} \cos \frac{\theta}{2} \quad \operatorname{Im} Z_I = -\frac{K_I}{\sqrt{2\pi r}} \sin \frac{\theta}{2}$$

$$\bar{Z}_I = 2 \frac{K_I}{\sqrt{2\pi}} \zeta^{1/2} \quad \operatorname{Re} \bar{Z}_I = 2K_I \sqrt{\frac{r}{2\pi}} \cos \frac{\theta}{2} \quad \operatorname{Im} \bar{Z}_I = 2K_I \sqrt{\frac{r}{2\pi}} \sin \frac{\theta}{2}$$

$$Z'_I = -\frac{1}{2} \frac{K_I}{\sqrt{2\pi} \zeta^{3/2}} \quad \operatorname{Re} Z'_I = -\frac{1}{2r} \frac{K_I}{\sqrt{2\pi r}} \cos \frac{3\theta}{2} \quad \operatorname{Im} Z'_I = \frac{1}{2r} \frac{K_I}{\sqrt{2\pi r}} \sin \frac{3\theta}{2}$$

$$\begin{cases} \sigma_x = \frac{K_I}{\sqrt{2\pi r}} \cos \frac{\theta}{2} \left( 1 - \sin \frac{\theta}{2} \sin \frac{3\theta}{2} \right) \\ \sigma_y = \frac{K_I}{\sqrt{2\pi r}} \cos \frac{\theta}{2} \left( 1 + \sin \frac{\theta}{2} \sin \frac{3\theta}{2} \right) \\ \sigma_{xy} = \frac{K_I}{\sqrt{2\pi r}} \cos \frac{\theta}{2} \sin \frac{\theta}{2} \cos \frac{3\theta}{2} \end{cases}
\quad
\begin{cases} u_x = \frac{K_I}{2\mu} \sqrt{\frac{2r}{\pi}} \cos \frac{\theta}{2} \left( 1 - 2\nu^* + \sin^2 \frac{\theta}{2} \right) \\ u_y = \frac{K_I}{2\mu} \sqrt{\frac{2r}{\pi}} \sin \frac{\theta}{2} \left( 2(1-\nu^*) - \cos^2 \frac{\theta}{2} \right) \end{cases}$$

**On a bien en mode I sur les lèvres de la fissure  
une discontinuité du déplacement selon y,  $u_y(\pi) = -u_y(-\pi)$**

A. Zeghloul

CFMR Intensification des contraintes à l'extrémité des fissures 41

### Mode II - cisaillement plan

$$\begin{cases} \sigma_x = 2 \operatorname{Im} Z_{II} + y \operatorname{Re} Z'_{II} \\ \sigma_y = -y \operatorname{Re} Z'_{II} \\ \sigma_{xy} = \operatorname{Re} Z_{II} - y \operatorname{Im} Z'_{II} \end{cases}
\quad
\begin{cases} 2\mu u_x = 2(1-\nu^*) \operatorname{Im} \bar{Z}_{II} + y \operatorname{Re} Z_{II} \\ 2\mu u_y = -\left( (1-2\nu^*) \operatorname{Re} \bar{Z}_{II} + y \operatorname{Im} Z_{II} \right) \end{cases}$$

$$\operatorname{Re} Z_{II} = \frac{K_{II}}{\sqrt{2\pi r}} \cos \frac{\theta}{2} \quad \operatorname{Im} Z_{II} = -\frac{K_{II}}{\sqrt{2\pi r}} \sin \frac{\theta}{2}$$

$$\bar{Z}_{II} = 2 \frac{K_{II}}{\sqrt{2\pi}} \zeta^{1/2} \quad \operatorname{Re} \bar{Z}_{II} = 2K_{II} \sqrt{\frac{r}{2\pi}} \cos \frac{\theta}{2} \quad \operatorname{Im} \bar{Z}_{II} = 2K_{II} \sqrt{\frac{r}{2\pi}} \sin \frac{\theta}{2}$$

$$Z'_{II} = -\frac{1}{2} \frac{K_{II}}{\sqrt{2\pi} \zeta^{3/2}} \quad \operatorname{Re} Z'_{II} = -\frac{1}{2r} \frac{K_{II}}{\sqrt{2\pi r}} \cos \frac{3\theta}{2} \quad \operatorname{Im} Z'_{II} = \frac{1}{2r} \frac{K_{II}}{\sqrt{2\pi r}} \sin \frac{3\theta}{2}$$

$$\begin{cases} \sigma_x = -\frac{K_{II}}{\sqrt{2\pi r}} \sin \frac{\theta}{2} \left( 2 + \cos \frac{\theta}{2} \cos \frac{3\theta}{2} \right) \\ \sigma_y = \frac{K_{II}}{\sqrt{2\pi r}} \sin \frac{\theta}{2} \cos \frac{\theta}{2} \cos \frac{3\theta}{2} \\ \sigma_{xy} = \frac{K_{II}}{\sqrt{2\pi r}} \cos \frac{\theta}{2} \left( 1 - \sin \frac{\theta}{2} \sin \frac{3\theta}{2} \right) \end{cases}
\quad
\begin{cases} u_x = \frac{K_{II}}{2\mu} \sqrt{\frac{2r}{\pi}} \sin \frac{\theta}{2} \left( 2(1-\nu^*) + \cos^2 \frac{\theta}{2} \right) \\ u_y = \frac{K_{II}}{2\mu} \sqrt{\frac{2r}{\pi}} \cos \frac{\theta}{2} \left( 1 - 2\nu^* - \sin^2 \frac{\theta}{2} \right) \end{cases}$$

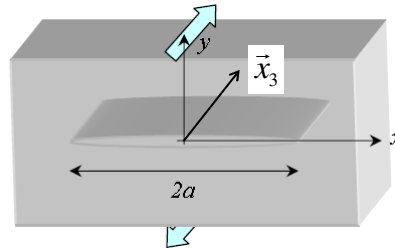
**On a bien en mode II sur les lèvres de la fissure  
une discontinuité du déplacement selon x,  $u_x(\pi) = -u_x(-\pi)$**

A. Zeghloul

CFMR Intensification des contraintes à l'extrémité des fissures 42

### Mode de cisaillement anti-plan

Lorsque une structure fissurée est en mode de cisaillement anti-plan, les lèvres de la fissure se déplacent, comme le montre la figure suivante, selon une direction perpendiculaire au plan  $(x,y)$ .



Le champ des déplacements est alors de la forme :

$$\vec{u} = u_3 \vec{x}_3 \quad \text{avec} \quad u_3 = u_3(x, y)$$

A. Zeghloul

CFMR Intensification des contraintes à l'extrémité des fissures 43

Les déformations en HPP sont données par :

$$\begin{cases} \epsilon_{13} = \frac{1}{2}(u_{1,3} + u_{3,1}) = \frac{1}{2}u_{3,1} \\ \epsilon_{23} = \frac{1}{2}(u_{2,3} + u_{3,2}) = \frac{1}{2}u_{3,2} \end{cases} \quad \begin{array}{l} \text{Loi de Hooke} \quad \begin{cases} \sigma_{13} = 2\mu\epsilon_{13} = \mu u_{3,1} \\ \sigma_{23} = 2\mu\epsilon_{23} = \mu u_{3,2} \end{cases} \\ \text{Equation d'équilibre} \quad \sigma_{13,1} + \sigma_{23,2} = 0 \end{array}$$

$$\Rightarrow \Delta u_3 = 0$$

La composante  $u_3$  du déplacement est donc harmonique. Elle peut être alors considérée comme partie réelle ou imaginaire d'une fonction analytique.

L'approche de Westergaard peut être utilisée pour traiter le problème du cisaillement antiplan. Si on note  $Z_{III}$  la fonction de Westergaard associée à ce problème, on montre que le déplacement peut se mettre sous la forme :

A. Zeghloul

CFMR Intensification des contraintes à l'extrémité des fissures 44

$$u_3 = \frac{1}{\mu} \operatorname{Im} \bar{Z}_{III}$$

Comme  $Z_{III}$  est homogène à une contrainte,  $\bar{Z}_{III}$  est homogène à une contrainte·longueur, si bien que  $\bar{Z}_{III}/\mu$  est homogène à une longueur donc pouvant décrire un déplacement.

$$\begin{cases} \sigma_{13} = \mu u_{3,1} \\ \sigma_{23} = \mu u_{3,2} \end{cases} \quad \begin{cases} \operatorname{Re} g' = \frac{\partial}{\partial x} \operatorname{Re} g = \frac{\partial}{\partial y} \operatorname{Im} g \\ \operatorname{Im} g' = \frac{\partial}{\partial x} \operatorname{Im} g = -\frac{\partial}{\partial y} \operatorname{Re} g \end{cases} \quad \Rightarrow \begin{cases} \sigma_{13} = \operatorname{Im} Z_{III} \\ \sigma_{23} = \operatorname{Re} Z_{III} \end{cases}$$

La fonction  $Z_{III}$  a la même forme que  $Z_I$  et  $Z_{II}$  :

$$Z_{III} = \frac{K_{III}}{\sqrt{2\pi\zeta}}$$

$K_{III}$  est le facteur d'intensité des contraintes en mode III

A. Zeghloul

CFMR Intensification des contraintes à l'extrémité des fissures 45

Les contraintes et le déplacement en mode III sont alors donnés par :

$$\begin{cases} u_3 = \frac{1}{\mu} \operatorname{Im} \bar{Z}_{III} \\ \sigma_{13} = \operatorname{Im} Z_{III} \\ \sigma_{23} = \operatorname{Re} Z_{III} \end{cases} \quad Z_{III} = \frac{K_{III}}{\sqrt{2\pi\zeta}}$$

$$\begin{cases} \sigma_{13} = -\frac{K_{III}}{\sqrt{2\pi r}} \sin \frac{\theta}{2} \\ \sigma_{23} = \frac{K_{III}}{\sqrt{2\pi r}} \cos \frac{\theta}{2} \\ u_3 = \frac{K_{III}}{\mu} \sqrt{\frac{2r}{\pi}} \sin \frac{\theta}{2} \end{cases}$$

A. Zeghloul

CFMR Intensification des contraintes à l'extrémité des fissures 46

## TD8 : Fissure sollicitée en mode I

A partir des formules donnant les contraintes élastiques à fond de fissure en fonction du facteur d'intensité des contraintes (FIC)  $K_I$  :

1°- Calculer  $\sigma_x$ ,  $\sigma_y$  et  $\sigma_{xy}$  pour  $\theta = 0, 45, 90, 135$  et  $180^\circ$  et à une distance  $r$  de l'extrémité de la fissure.

2°- Représenter l'état de contrainte autour de la fissure pour un petit élément découpé autour du point courant  $M$ , pour tous les angles considérés en 1°.

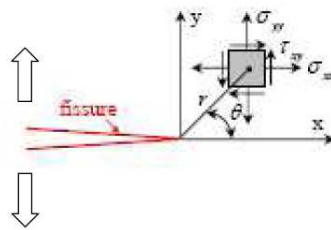
3°- Déterminer, en utilisant la construction de Mohr, les directions et les contraintes principales autour de la fissure. Quelles sont ces valeurs, en fonction de  $K_I$  et de  $r$ , pour  $\theta = 45$  et  $90^\circ$  ?

4°- Pour quelle valeur de  $\theta$  la contrainte normale est-elle maximale ?

A. Zeghloul      CFMR Intensification des contraintes à l'extrémité des fissures    47

## Corrigé du TD8

Fissure sollicitée en mode d'ouverture



Les contraintes pour une fissure sollicitée en mode I, s'écrivent :

$$\begin{aligned}\sigma_x &= \frac{K_I}{\sqrt{2\pi r}} \cos \frac{\theta}{2} \left( 1 - \sin \frac{\theta}{2} \sin \frac{3\theta}{2} \right) \quad \text{ou} \quad \tilde{\sigma}_x = \sigma_x / \frac{K_I}{\sqrt{2\pi r}} = \cos \frac{\theta}{2} \left( 1 - \sin \frac{\theta}{2} \sin \frac{3\theta}{2} \right) \\ \sigma_y &= \frac{K_I}{\sqrt{2\pi r}} \cos \frac{\theta}{2} \left( 1 + \sin \frac{\theta}{2} \sin \frac{3\theta}{2} \right) \quad \text{ou} \quad \tilde{\sigma}_y = \sigma_y / \frac{K_I}{\sqrt{2\pi r}} = \cos \frac{\theta}{2} \left( 1 + \sin \frac{\theta}{2} \sin \frac{3\theta}{2} \right) \\ \tau_{xy} &= \frac{K_I}{\sqrt{2\pi r}} \cos \frac{\theta}{2} \sin \frac{\theta}{2} \cos \frac{3\theta}{2} \quad \text{ou} \quad \tilde{\tau}_{xy} = \tau_{xy} / \frac{K_I}{\sqrt{2\pi r}} = \cos \frac{\theta}{2} \sin \frac{\theta}{2} \cos \frac{3\theta}{2}\end{aligned}$$

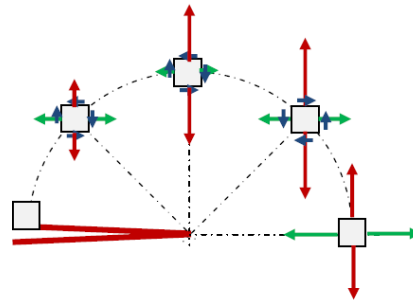
A. Zeghloul      CFMR Intensification des contraintes à l'extrémité des fissures    48



1- Calcul des  $\tilde{\sigma}_{ij}$  pour  $\theta = 0, 45, 90, 135$  et  $180^\circ$

$\theta$	0	45	90	135	180
$\tilde{\sigma}_x$	1	0,60	0,35	0,52	0
$\tilde{\sigma}_y$	1	1,25	1,06	0,25	0
$\tilde{\tau}_{xy}$	0	0,135	-0,35	-0,33	0

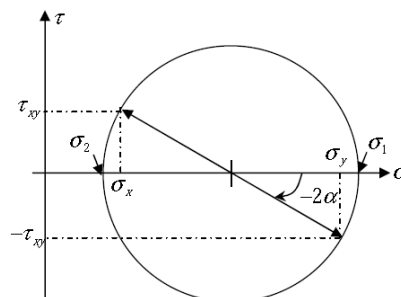
2- Représentation de l'état de contrainte autour de la fissure



A. Zeghloul

CFMR Intensification des contraintes à l'extrémité des fissures 49

3- Construction de Mohr ( $\alpha$  angle entre la direction principale  $\bar{1}$  et la direction  $\bar{y}$ )



Les contraintes principales,  $\sigma_1$  (la plus élevée) et  $\sigma_2$ , et l'angle  $\alpha$ , sont donnés d'après la construction ci-dessus par :

$$\sigma_1 = \frac{\sigma_x + \sigma_y}{2} + \sqrt{\left(\frac{\sigma_y - \sigma_x}{2}\right)^2 + \tau_{xy}^2} \Rightarrow \sigma_1 = \frac{K_I}{\sqrt{2\pi r}} \cos \frac{\theta}{2} \left(1 + \sin \frac{\theta}{2}\right)$$

$$\sigma_2 = \frac{\sigma_x + \sigma_y}{2} - \sqrt{\left(\frac{\sigma_y - \sigma_x}{2}\right)^2 + \tau_{xy}^2} \Rightarrow \sigma_2 = \frac{K_I}{\sqrt{2\pi r}} \cos \frac{\theta}{2} \left(1 - \sin \frac{\theta}{2}\right)$$

A. Zeghloul

CFMR Intensification des contraintes à l'extrémité des fissures 50

$$\tan(-2\alpha) = -\frac{2\tau_{xy}}{\sigma_y - \sigma_x} = -\cot\left(\frac{3\theta}{2}\right) \Rightarrow \alpha = \frac{1}{2} \tan^{-1} \cot\left(\frac{3\theta}{2}\right)$$

Pour  $\theta = 45^\circ$  :  $\sigma_1 = 1,28 \frac{K_I}{\sqrt{2\pi r}}$        $\sigma_2 = 0,57 \frac{K_I}{\sqrt{2\pi r}}$        $\alpha = 11,25^\circ$

Pour  $\theta = 90^\circ$  :  $\sigma_1 = 1,21 \frac{K_I}{\sqrt{2\pi r}}$        $\sigma_2 = 0,21 \frac{K_I}{\sqrt{2\pi r}}$        $\alpha = -22,5^\circ$

4- Pour quelle valeur de  $\theta$  la contrainte  $\sigma_1$  est-elle maximale ?

$$\sigma_1 = \frac{\sigma_x + \sigma_y}{2} + \sqrt{\left(\frac{\sigma_y - \sigma_x}{2}\right)^2 + \tau_{xy}^2} \Rightarrow \sigma_1 = \frac{K_I}{\sqrt{2\pi r}} \cos \frac{\theta}{2} \left(1 + \sin \frac{\theta}{2}\right)$$

$$\frac{\partial \sigma_1}{\partial \theta} = 0 \Rightarrow 2 \sin^2 \frac{\theta}{2} + \sin \frac{\theta}{2} - 1 = 0 \quad \text{soit} \quad \theta = 60^\circ \quad \text{et} \quad \sigma_1 = 1,30 \frac{K_I}{\sqrt{2\pi r}}$$

A. Zegloul

CFMR Intensification des contraintes à l'extrémité des fissures 51

### TD9 : Calcul du FIC K à partir de la fonction de Westergaard

I- Montrer que la fonction de Westergaard suivante décrit bien le chargement indiqué où la plaque infinie comporte une fissure de longueur  $2a$ . Calculer le FIC  $K_I$  à l'extrémité  $x=a$

$$Z_I = \frac{\sigma^\infty z}{\sqrt{z^2 - a^2}}$$

#### Corrigé du TD9

$$\sigma_y = \operatorname{Re} Z_I + y \operatorname{Im} Z_I' \quad Z_I' = \frac{\sigma^\infty}{\sqrt{z^2 - a^2}} - \frac{\sigma^\infty z^2}{(z^2 - a^2)^{\frac{3}{2}}}$$

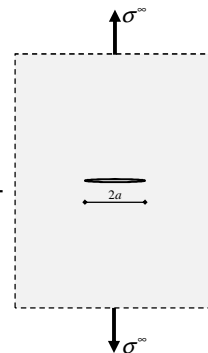
$$\lim_{|z| \rightarrow \infty} Z_I = \sigma^\infty \quad \lim_{|z| \rightarrow \infty} Z_I' = 0 \quad \sigma_y|_{|z| \rightarrow \infty} = \sigma^\infty \quad \text{CL vérifiée}$$

$$K_I = \lim_{|z| \rightarrow a} \sqrt{2\pi(z-a)} Z_I(z) = \sigma^\infty \lim_{|z| \rightarrow a} \sqrt{2\pi(z-a)} \frac{z}{\sqrt{(z-a)(z+a)}}$$

$$\Rightarrow K_I = \sigma^\infty \sqrt{\pi a}$$

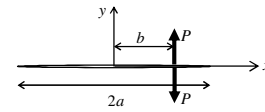
A. Zegloul

CFMR Intensification des contraintes à l'extrémité des fissures 52



II- Soit le chargement 1 d'une plaque infinie fissurée dont la fonction de Westergaard associée est:

$$Z_I = \frac{P}{\pi(z-b)} \sqrt{\frac{a^2 - b^2}{z^2 - a^2}} \quad \text{avec } P \text{ force concentrée en } z = b$$



Chargement 1

1- Montrer que la fonction de Westergaard  $Z_I$  décrit bien le chargement 1

2- calculer le FIC  $K_I$  à l'extrémité  $x=a$

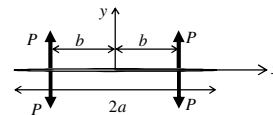
3- Déterminer la fonction de Westergaard du chargement 2

4- Calculer le FIC  $K_I$  du chargement 2 à l'extrémité  $x=a$

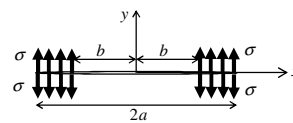
5- Calculer à partir de 4- le FIC  $K_I$  à l'extrémité  $x=a$  pour le chargement 3 où

$\sigma$  est une contrainte répartie.

6- Montrer à partir de 4- que la fn de Westergaard du chargement 3 est :



Chargement 2



Chargement 3

$$Z(z) = \frac{2\sigma}{\pi} \left[ \frac{z}{\sqrt{z^2 - a^2}} \cos^{-1} \left( \frac{b}{a} \right) - \cot^{-1} \left( \frac{b}{z} \sqrt{\frac{z^2 - a^2}{a^2 - b^2}} \right) \right]$$

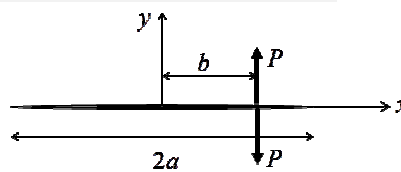
A. Zegloul

CFMR Intensification des contraintes à l'extrémité des fissures 53

### Corrigé du TD9 – question II

1- Montrer que la fonction de Westergaard  $Z_I$  décrit bien le chargement 1

$$\sigma_y = \operatorname{Re} Z + y \operatorname{Im} Z'$$



Lorsque  $z \rightarrow b$  point d'application de la charge concentrée,

$$Z_I = \frac{iP}{\pi(z-b)}$$

$$Z_I = \frac{P}{\pi(z-b)} \sqrt{\frac{a^2 - b^2}{z^2 - a^2}}$$

La force concentrée  $P_y$  est donnée par

$$P_y = \lim_{y \rightarrow 0^+} \int_{b-\varepsilon}^{b+\varepsilon} \sigma_y e \, dx = \frac{P}{\pi} \lim_{y \rightarrow 0^+} \int_{b-\varepsilon}^{b+\varepsilon} \operatorname{Re} \left[ \frac{i}{x-b+iy} \right] dx$$

$$P_y = \frac{P}{\pi} \lim_{y \rightarrow 0^+} \int_{b-\varepsilon}^{b+\varepsilon} \frac{y}{(x-b)^2 + y^2} dx$$

$$P_y = \frac{P}{\pi} \lim_{y \rightarrow 0^+} \left[ \arctan \frac{x-b}{y} \right]_{b-\varepsilon}^{b+\varepsilon} = \frac{2P}{\pi} \lim_{y \rightarrow 0^+} \arctan \frac{\varepsilon}{y} = \frac{2P}{\pi} \frac{\pi}{2} = P$$

CL bien vérifiée

A. Zegloul

CFMR Intensification des contraintes à l'extrémité des fissures 54

### 2- Calcul du FIC $K_I$ à l'extrémité $x=a$

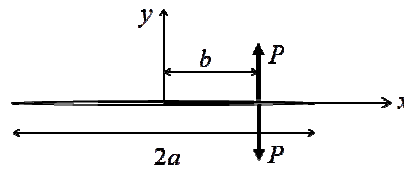
$$z-a=\zeta \Rightarrow Z_I = \frac{P}{\pi(\zeta+a-b)} \sqrt{\frac{a^2-b^2}{\zeta(\zeta+2a)}}$$

$$K_I = \lim_{|\zeta| \rightarrow 0} \sqrt{2\pi\zeta} Z_I(\zeta) = \sqrt{2\pi} \frac{P}{\pi(a-b)} \sqrt{\frac{a^2-b^2}{2a}}$$

$$\Rightarrow K_I = \frac{P}{\sqrt{\pi a}} \sqrt{\frac{a+b}{a-b}}$$

ou plus simplement  $K_I = \lim_{|z| \rightarrow a} \sqrt{2\pi(z-a)} Z_I(z) = \frac{\sqrt{2\pi} P}{\pi(a-b)} \sqrt{\frac{a^2-b^2}{2a}}$

$$\Rightarrow K_I = \frac{P}{\sqrt{\pi a}} \sqrt{\frac{a+b}{a-b}}$$



$$Z_I = \frac{P}{\pi(z-b)} \sqrt{\frac{a^2-b^2}{z^2-a^2}}$$

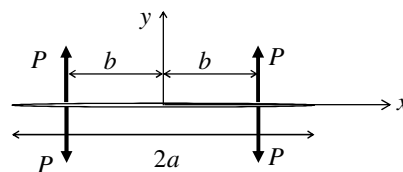
A. Zeghloul

CFMR Intensification des contraintes à l'extrémité des fissures 55

### 3- Déterminer la fonction de Westergaard du chargement 2

$$Z_I = \frac{P}{\pi(z-b)} \sqrt{\frac{a^2-b^2}{z^2-a^2}} + \frac{P}{\pi(z+b)} \sqrt{\frac{a^2-b^2}{z^2-a^2}}$$

$$Z_I = \frac{P}{\pi} \sqrt{\frac{a^2-b^2}{z^2-a^2}} \frac{2z}{z^2-b^2} = \frac{2Pz}{\pi(z^2-b^2)} \sqrt{\frac{a^2-b^2}{z^2-a^2}}$$



### 4- Calculer le FIC $K_I$ à l'extrémité $x=a$

$$K_I = \lim_{|z| \rightarrow a} \sqrt{2\pi(z-a)} Z_I(z) = \sqrt{2\pi} \frac{2Pa}{\pi(a^2-b^2)} \sqrt{\frac{a^2-b^2}{2a}}$$

$$\Rightarrow K_I = \frac{2P}{\sqrt{a^2-b^2}} \sqrt{\frac{a}{\pi}}$$

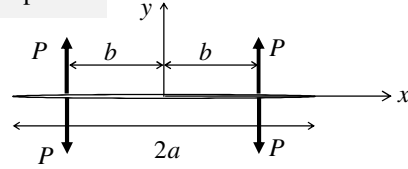
A. Zeghloul

CFMR Intensification des contraintes à l'extrémité des fissures 56

5- Calcul à partir de 4- du FIC  $K_I$  à l'extrémité  $x=a$

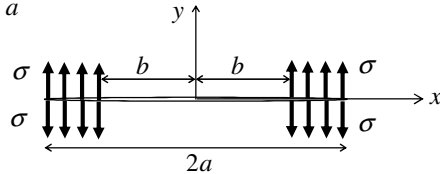
pour le chargement 3 où  $\sigma$  est une contrainte répartie

$$\Rightarrow K_I = \frac{2P}{\sqrt{a^2 - b^2}} \sqrt{\frac{a}{\pi}}$$



On remplace  $P$  par  $\sigma dx$ , et on intègre de  $b$  à  $a$

$$K_I = 2\sigma \sqrt{\frac{a}{\pi}} \int_b^a \frac{dx}{\sqrt{a^2 - x^2}}$$



$$K_I = -2\sigma \sqrt{\frac{a}{\pi}} \left[ \arccos \frac{x}{a} \right]_b^a \quad \text{changement de variable } x = a \cos \alpha$$

$$\Rightarrow K_I = 2\sigma \sqrt{\frac{a}{\pi}} \arccos \frac{b}{a}$$

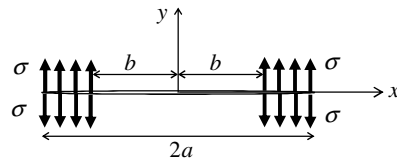
Remarque  $K_I = \sigma \sqrt{\pi a}$  lorsque  $b = 0$

A. Zeghloul

CFMR Intensification des contraintes à l'extrémité des fissures 57

6- Montrer à partir de 4- que la fonction de Westergaard du chargement 3 s'écrit :

$$Z_I(z) = \frac{2\sigma}{\pi} \left[ \frac{z}{\sqrt{z^2 - a^2}} \cos^{-1} \left( \frac{b}{a} \right) - \cot^{-1} \left( \frac{b}{z} \sqrt{\frac{z^2 - a^2}{a^2 - b^2}} \right) \right]$$



Chargement 2 
$$Z_I = \frac{2Pz}{\pi(z^2 - b^2)} \sqrt{\frac{a^2 - b^2}{z^2 - a^2}}$$

Chargement 3 
$$Z_I = \frac{2\sigma z}{\pi \sqrt{z^2 - a^2}} \int_b^a \frac{\sqrt{a^2 - x^2}}{z^2 - x^2} dx$$

Posons  $x = a \cos \theta \Rightarrow \begin{cases} dx = -a \sin \theta d\theta \\ \theta = \cos^{-1}(x/a) \end{cases}$

$$\begin{aligned} \int \frac{\sqrt{a^2 - x^2}}{z^2 - x^2} dx &= \int \frac{-a^2 \sin^2 \theta}{z^2 - a \cos^2 \theta} d\theta \\ &= \int \frac{-a^2 \sin^2 \theta}{z^2 (\cos^2 \theta + \sin^2 \theta) - a^2 \cos^2 \theta} d\theta = \int \frac{-a^2}{(z^2 - a^2) \cot^2 \theta + z^2} d\theta \end{aligned}$$

A. Zeghloul

CFMR Intensification des contraintes à l'extrémité des fissures 58

$$\int \frac{\sqrt{a^2 - x^2}}{z^2 - x^2} dx = \int \frac{-a^2}{(z^2 - a^2) \cot^2 \theta + z^2} d\theta$$

On pose ensuite  $t = \cot \theta \Rightarrow \begin{cases} dt = -(1 + \cot^2 \theta) d\theta \\ d\theta = -\frac{dt}{1+t^2} \text{ avec } \theta = \cot^{-1} t \end{cases}$

$$\int \frac{a^2}{(z^2 - a^2)t^2 + z^2} \frac{dt}{1+t^2} = \int \left[ \frac{1}{1+t^2} - \frac{z^2 - a^2}{(z^2 - a^2)t^2 + z^2} \right] dt$$

$$\int \frac{1}{1+t^2} dt = -\cot^{-1} t = -\cos^{-1} \frac{x}{a}$$

Posons  $u = \frac{\sqrt{z^2 - a^2}}{z} t \Rightarrow du = \frac{\sqrt{z^2 - a^2}}{z} dt$

$$1+u^2 = \frac{z^2 + (z^2 - a^2)t^2}{z^2} \Rightarrow \frac{du}{1+u^2} = \frac{\sqrt{z^2 - a^2}}{z} \frac{z^2}{z^2 + (z^2 - a^2)t^2} dt$$

$$\frac{\sqrt{z^2 - a^2}}{z} \frac{du}{1+u^2} = \frac{z^2 - a^2}{z^2 + (z^2 - a^2)t^2} dt$$

$$\int -\frac{z^2 - a^2}{(z^2 - a^2)t^2 + z^2} dt = \frac{\sqrt{z^2 - a^2}}{z} \int -\frac{du}{1+u^2} = \frac{\sqrt{z^2 - a^2}}{z} \cot^{-1} u$$

A. Zeghloul CFMR Intensification des contraintes à l'extrémité des fissures 59

$$u = \frac{\sqrt{z^2 - a^2}}{z} t \Rightarrow du = \frac{\sqrt{z^2 - a^2}}{z} dt \quad \int -\frac{z^2 - a^2}{(z^2 - a^2)t^2 + z^2} dt = \frac{\sqrt{z^2 - a^2}}{z} \int -\frac{du}{1+u^2} = \frac{\sqrt{z^2 - a^2}}{z} \cot^{-1} u$$

$$\int \frac{1}{1+t^2} dt = -\cot^{-1} t = -\cos^{-1} \frac{x}{a}$$

$$Z_I(z) = \frac{2\sigma}{\pi} \frac{z}{\sqrt{z^2 - a^2}} \int_b^a \frac{\sqrt{a^2 - x^2}}{z^2 - x^2} dx = \frac{2\sigma}{\pi} \frac{z}{\sqrt{z^2 - a^2}} \left[ \frac{\sqrt{z^2 - a^2}}{z} \cot^{-1} u - \cos^{-1} \frac{x}{a} \right]_{x=b}^{x=a}$$

Bornes  $\begin{cases} \cos \theta = \frac{x}{a} \text{ et } t = \cot \theta = \frac{\cos \theta}{\sin \theta} = \frac{x}{a \sqrt{1 - x^2/a^2}} = \frac{x}{\sqrt{a^2 - x^2}} \\ u = \frac{\sqrt{z^2 - a^2}}{z} t = \frac{x}{z} \sqrt{\frac{z^2 - a^2}{a^2 - x^2}} \\ b < x < a \Rightarrow \cot^{-1} \left[ \frac{b}{z} \sqrt{\frac{z^2 - a^2}{a^2 - b^2}} \right] < \cot^{-1} u < 0 \end{cases}$

$$Z_I(z) = \frac{2\sigma}{\pi} \left[ \frac{z}{\sqrt{z^2 - a^2}} \cos^{-1} \left( \frac{b}{a} \right) - \cot^{-1} \left( \frac{b}{z} \sqrt{\frac{z^2 - a^2}{a^2 - b^2}} \right) \right]$$

A. Zeghloul CFMR Intensification des contraintes à l'extrémité des fissures 60